

# Descente stochastique du second ordre

S. Gadat

Toulouse School of Economics

Joint work with [A. Cabot](#), [H. Engler](#), [L. Miclo](#), [F. Panloup](#), [C. Pellegrini](#).

**Toulouse, June, 26 2015**

## I - Introduction

### II - Étude déterministe

II-1 Gradient mémoire

II-2 Premières propriétés

II-3 Cas convexe

II-4 Convergence des trajectoires

II-5 Développements

### III Modèle diffusif moyenné (DM)

III-0 Recuit simulé

III-1 Définition de la diffusion moyennée

III-2 Diffusion moyennée et Fokker Planck cinétique

III-3 Propriétés élémentaires

III-4 Régularité du processus [Hypoellipticité]

III-5 Ergodicité du processus [Hypocoercivité]

### IV Grandes déviations des mesures invariantes

IV-1 Comportement à basse température

IV-2 Théorie de Freidlin & Wentzell

IV-3  $\{i\}$ -graphe et conclusion

# I - 1 Motivations - Optimisation

On s'intéresse à un problème d'optimisation d'une fonction  $U : \mathbb{R}^d \longrightarrow \mathbb{R}$

Descente standard :

$$\dot{x}_t = -\nabla U(x_t) \quad (G)$$

On connaît beaucoup de choses sur cette dynamique :

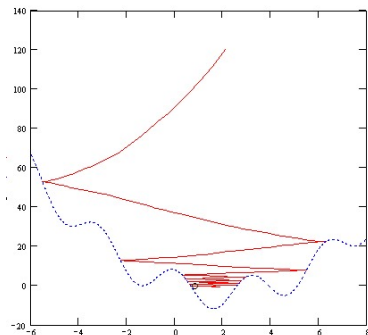
- ▶ version continue
- ▶ version discrète
- ▶ cas fortement convexe
- ▶ cas seulement  $\beta$ -convexe
- ▶ ...

En particulier, on sait que :

- ▶  $(G)$  est piégée dans des minima locaux (non convexité)
- ▶ Taux linéaire  $e^{-Ct}$  (fortement convexe) ou  $1/t$  ( $\beta$ -lisse)

# I Motivations - Modélisation & Pièges

Accélérer/éviter pièges ? Idee de physique (Polyak '64, Antipin & Polyak 87) :



- ▶ On fait rouler une boule "pesante" sur le graphe de  $U$
- ▶ On introduit un effet de friction (amortissement) pour la convergence

Descente Heavy Ball :

$$\ddot{x}_t + \gamma_t \dot{x}_t + \nabla U(x_t) = 0 \quad (HBF)$$

où

$$\lim_{t \rightarrow +\infty} \gamma_t = 0.$$

# I Motivations - Modélisation & Pièges

Éviter des minima locaux ? Garder de la mémoire sur les directions passées :

- ▶ On introduit deux fonctions  $h$  et  $k$  positives croissantes
- ▶ On produit la descente intégrro-différentielle

$$\dot{x}_t = -\frac{1}{k(t)} \int_0^t h(s) \nabla U(x_s) ds \quad (GM)$$

▶ Choix typiques :

- ▶  $k(t) = \int_0^t h(s) ds$  ou  $\dot{k} = h$

- ▶  $k(t) = t$  et  $h(t) = 1$  ou  $k(t) = t^{\alpha+1}$  et  $h(t) = (\alpha + 1)t^\alpha$

- ▶  $k(t) = \lambda e^{\lambda t}$  et  $h(t) = e^{\lambda t}$

Remarque : (GM) s'écrit au second ordre :

$$k(t)\ddot{x}(t) + \dot{k}(t)\dot{x}(t) + h(t)\nabla U(x_t) = 0. \quad (GM')$$

# I Motivations - Optimisation des vitesses

Descente accélérée (Nesterov 83) :

$$\begin{cases} x_k = y_{k-1} - \gamma \nabla f(y_{k-1}) \\ y_k = x_k + \frac{k-1}{k+2}(x_k - x_{k-1}). \end{cases} \quad (N)$$

- ▶ Dans les cas fortement convexe ou  $\beta$ -lisse, le schéma du second ordre (N) est meilleur que (G) (il est même optimal dans les deux cas)
- ▶ Un petit exercice montre que si  $\gamma$  est petit, alors (N) a une version différentielle du second ordre

$$\ddot{x}_t + \frac{3}{t}\dot{x}_t + \nabla U(x_t) = 0 \quad (N')$$

## I - Introduction

## II - Étude déterministe

II-1 Gradient mémoire

II-2 Premières propriétés

II-3 Cas convexe

II-4 Convergence des trajectoires

II-5 Développements

## III Modèle diffusif moyenné (DM)

III-0 Recuit simulé

III-1 Définition de la diffusion moyennée

III-2 Diffusion moyennée et Fokker Planck cinétique

III-3 Propriétés élémentaires

III-4 Régularité du processus [Hypoellipticité]

III-5 Ergodicité du processus [Hypocoercivité]

## IV Grandes déviations des mesures invariantes

IV-1 Comportement à basse température

IV-2 Théorie de Freidlin & Wentzell

IV-3  $\{i\}$ -graphe et conclusion

## II-1 Unification en une seule ODE *via* la représentation HBF

Proposition (CEG, TAMS '09)

$$\dot{x}_t = -\frac{1}{k(t)} \int_0^t h(s) \nabla U(x_s) ds \iff \ddot{\tilde{x}}_s + a_s \dot{\tilde{x}}_s + \nabla U(\tilde{x}_s) = 0$$

avec  $\tilde{x}(s) = x(\tau(s))$  où

$$t = \tau(s) \quad \text{vérifie} \quad \dot{\tau}(s) = \sqrt{(k \cdot h^{-1})(\tau(s))} \quad \text{et} \quad a_s = \frac{(\dot{k}h + k\dot{h})}{2h^{3/2}k^{1/2}} \circ \tau(s)$$

Cas quadratique : fonctions de Bessel dès lors que mémoire polynomiale.

**Proposition**

Si  $U(x) = x^2/2$  et  $h(t) = t^\alpha$  et  $k(t) = t^\beta$ .

$$x_t \sim Ct^{-(\alpha+\beta)/4} \cos(\mu t^{(\alpha-\beta+2)/2} + \phi) \quad \text{lorsque} \quad t \longrightarrow +\infty$$

- Oscillation lorsque  $t \rightarrow \infty$  avec damping autour de  $\arg \min U$ .
- De manière plus générale, les systèmes déterministes à mémoire ont une inertie qui implique des oscillations localement.



## II-1 Nesterov accéléré et Gradient à mémoire

En particulier :

- ▶  $k(t) = \lambda e^{\lambda t}$  et  $h(t) = e^{\lambda t}$  correspond à un amortissement constant

$$a_s = \sqrt{\lambda}/2 \quad \text{et} \quad \tau(s) = \sqrt{\lambda}s$$

- ▶  $k(t) = t^{\alpha+1}$  et  $h(t) = (\alpha + 1)t^\alpha$  correspond à un amortissement évanescent :

$$a_s = \frac{2\alpha + 1}{t} \quad \text{et} \quad \tau(s) = \frac{s^2}{4(\alpha + 1)}.$$

Proposition (CEG, TAMS '09)

Nesterov accéléré est un (GM)  $h(t) = 2t$  et  $k(t) = t^2$  et  $\tau(s) = \frac{s^2}{8}$ .

## II-2 Premières propriétés

$$\ddot{x}_t + \gamma_t \dot{x}_t + \nabla U(x_t) = 0$$

### Hypothèses

- ▶  $U$  est une fonction de  $\mathbb{R}^d$  dans  $\mathbb{R}_+^*$  régulière et coercive :

$$\lim_{x \rightarrow \infty} U(x) = +\infty$$

- ▶ On suppose de plus que  $U(0) = \min_{\mathbb{R}^d} U > 0$
- ▶ On suppose que  $U$  satisfait la **condition de rappel** :

$$\liminf_{x \rightarrow \infty} \langle x, \nabla U(x) \rangle > 0$$

- ▶  $\gamma$  est la fonction d'amortissement définie de  $\mathbb{R}_+$  dans  $\mathbb{R}_+$ .

### Existence

#### Proposition

Si on note  $\mathcal{E}(t) = U(x_t) + \frac{|\dot{x}_t|^2}{2}$ , alors  $\dot{\mathcal{E}}(t) = -\gamma_t |\dot{x}(t)|^2$  et les solutions de (GM) sont définies sur  $\mathbb{R}_+$  et restent bornées.

$$\forall t > 0 \quad \mathcal{E}(t) - \min U \geq (\mathcal{E}(0) - \min(U)) \exp\left(-2 \int_0^t \gamma_s ds\right).$$

Ainsi, même si  $U$  est convexe, si  $\gamma$  tend vers 0 trop rapidement :

$$\int_0^{+\infty} \gamma_s ds < +\infty \implies \text{la trajectoire ne peut converger.}$$

## II-3 Estimées d'énergie - cas convexe -

$$\ddot{x}_t + \gamma_t \dot{x}_t + \nabla U(x_t) = 0$$

Hypothèse de type convexité (un peu plus général que la convexité,  $\theta = 1$ ).

$$\exists \theta \quad \forall x \in \mathbb{R}^d \quad U(x) \leq \theta \langle \nabla U(x); x \rangle$$

Proposition (CEG, TAMS'09.)

Si  $\gamma$  est  $C^1$  et décroissante, alors

$$\int_0^{+\infty} \gamma_s [\mathcal{E}(s) - \min U] ds < +\infty$$

Si de plus  $\int_0^{+\infty} \gamma_s ds = +\infty$  (cas de décroissance lente), alors

$$\lim \mathcal{E}(t) = \min U.$$

Si enfin  $\arg \min U = \{0\}$ , la trajectoire converge.

## II-3 Estimées d'énergie - cas convexe -

$$\ddot{x}_t + \gamma_t \dot{x}_t + \nabla U(x_t) = 0$$

Rien n'est dit ici sur la vitesse. On peut aller plus loin :

### Theorem (Vitesse de convergence de GM - CEG '09)

- ▶ S'il existe  $K$  t.q.  $\dot{\gamma}_t + K\gamma_t^2 \leq 0$  et  $\nabla U$  Lipschitz, si  $m = \min((\theta + 1/2)^{-1}; K)$

$$\mathcal{E}(t) \lesssim \exp\left(-m \int_0^t \gamma_s ds\right)$$

- ▶ S'il existe  $K \leq (\theta + 1/2)^{-1}$  t.q.  $\dot{\gamma}_t + K\gamma_t^2 \geq 0$

$$\mathcal{E}(t) \lesssim \gamma_t$$

- ▶ Cas de mémoire polynomiale  $\gamma_s = \frac{2\alpha+1}{s} \iff K = \frac{1}{2\alpha+1}$ .
- ▶ Si  $\theta = 1$ , fonction convexe, on a  $m = K$  dès que  $\alpha > 0$ . Pour les  $\alpha \in \mathbb{N}$ , le plus petit damping Nesterov est  $\gamma_t = 3/t$ .
- ▶ On obtient une vitesse en  $1/t$  pour le (GM) et (N) dans ce cas. On peut améliorer en  $t^{-2/\theta}$  dans ce contexte pour  $\theta > 1/2$ .

## II-4 Convergence des trajectoires - cas convexe

### Cas où $U = 0$

- ▶ Dans le cas où  $U = 0$ , on peut calculer explicitement les solutions

$$x_t = x(0) + \dot{x}(0) \int_0^t e^{-\int_0^s \gamma_u du} ds$$

- ▶ Convergence si  $\gamma$  ne décroît pas trop vite vers 0 (cas très lent) :

$$\int_0^t e^{-\int_0^s \gamma_u du} ds < \infty.$$

### Généralisation

- ▶ Dimension  $d$ , avec  $U$  convexe et  $\arg \min U$  lisse et non réduit à un point.
- ▶ On suppose que  $\int_0^t e^{-\int_0^s \gamma_u du} ds = +\infty$ .

### Theorem (Non convergence CEG, TAMS '09)

*Si  $(x(0), \dot{x}(0)) \notin \arg \min U \times 0$ , alors la trajectoire ne converge pas.*

Cas de la dimension 1 Potentiel convexe, gradient Lipschitz

### Proposition (Convergence des trajectoires, CEG EJDE '09)

*Si  $\gamma_s = c/s$  avec  $c > 1$ , les trajectoires convergent **en dimension 1**.*

## II-5 Développements

- ▶ Résultats positifs de convergence  $1D$  dans des cas non convexes.
- ▶ Convergence des trajectoires dans  $\mathbb{R}^d$  (récent travail de Cabot, 2014).
- ▶ Comment traiter le cas des potentiels non convexes généraux ?

## I - Introduction

## II - Étude déterministe

II-1 Gradient mémoire

II-2 Premières propriétés

II-3 Cas convexe

II-4 Convergence des trajectoires

II-5 Développements

## III Modèle diffusif moyenné (DM)

III-0 Recuit simulé

III-1 Définition de la diffusion moyennée

III-2 Diffusion moyennée et Fokker Planck cinétique

III-3 Propriétés élémentaires

III-4 Régularité du processus [Hypoellipticité]

III-5 Ergodicité du processus [Hypocoercivité]

## IV Grandes déviations des mesures invariantes

IV-1 Comportement à basse température

IV-2 Théorie de Freidlin & Wentzell

IV-3  $\{i\}$ -graphe et conclusion

## III-0 Recuit simulé

Historique :

- ▶ Algorithme initial : Kirkpatrick, Gelatt, Vecchi, Science, '83
- ▶ Première preuve : Hajek, M.O.R. '88
- ▶ version proba : Holley, Kusuoka, Stroock, J.F.A. '89, Miclo, I.H.P. '92

Quelques rappels sur la méthode du recuit simulé

- ▶  $U$  potentiel  $C^2$  de  $\mathbb{R}^d$  dans  $\mathbb{R}_+$  non convexe (unique minimum absolu)

$$dX_t = -\nabla U(X_t)dt + \sigma dB_t$$

- ▶ Si  $U$  assez coercif,  $(X_t)_{t \geq 0}$  a une mesure invariante unique et vérifie une inégalité de type trou spectral/ log sobolev :

$$KL(\mathcal{L}(X_t), \pi_\sigma) \lesssim e^{-Ct}$$

- ▶ La mesure invariante est

$$\pi_\sigma \propto e^{-U/\sigma^2}$$

et si  $\sigma \rightarrow 0$ , alors  $\pi_\sigma$  se concentre sur les minima **globaux** de  $U$

- ▶ Idée : ergodicité de  $(X_t)_{t \geq 0}$  + schéma de température adapté  $\sigma_t$ .
- ▶ On cherche une inégalité différentielle sur

$$D_t := KL(\mathcal{L}(X_t), \pi_{\sigma_t}) \quad \text{du type} \quad \dot{D}_t \leq -C_t D_t + \epsilon_t$$

- ▶  $X_t \rightarrow \arg \min U$  lorsque  $t \rightarrow +\infty$  si on calibre correctement  $(C_t, \sigma_t)$



### III-1 Diffusion moyennée par sa mémoire

- ▶ On se donne une fonction  $k$  croissante, positive, de classe  $C^2$ .
- ▶ On définit  $(B_t)_{t \geq 0}$  un mouvement Brownien standard, et  $(X_t)_{t \geq 0}$  est le processus solution de l'eds :

$$dX_t = - \left[ \frac{1}{k(t)} \int_0^t \dot{k}(s) \nabla U(X_s) ds \right] dt + \sigma(X_t) dB_t. \quad (DM)$$

- ▶ Problème :  $(X_t)_{t \geq 0}$  n'a aucune chance d'être Markovien.
- ▶ En posant  $Y_t = \frac{1}{k(t)} \int_0^t \dot{k}(s) \nabla U(X_s) ds$ , on remarque que  $(X, Y)$  satisfait

$$\begin{cases} dX_t = -Y_t dt + \sigma(X_t) dB_t \\ dY_t = r(t) (\nabla U(X_t) - Y_t) dt. \end{cases} \quad (1)$$

avec une fonction importante :

$$r(t) = \frac{\dot{k}(t)}{k(t)}$$

- ▶ **Le processus  $(X_t, Y_t)_{t \geq 0}$  est Markovien** inhomogène en temps tel que :

$$\mathcal{A}f(x, y, t) = -\langle y, \partial_x f \rangle + r(t) \langle \nabla U(x) - y, \partial_y f \rangle + \frac{1}{2} \text{Tr} \left( \sigma^*(x) D_x^2 f \sigma(x) \right) + \partial_t f.$$

## III-2 Diffusion moyennée et Fokker Planck cinétique

- ▶ Cela ressemble à l'équation de Fokker Planck cinétique :

$$\begin{cases} dX_t = Y_t dt \\ dY_t = -[\nabla U(X_t) + Y_t] dt + \sigma dB_t \end{cases} \quad (2)$$

- ▶  $dB_t$  est placé sur la coordonnée position et non vitesse (aie !).
- ▶ L'équation d'évolution est dégénérée sur une coordonnée. Peut-on obtenir malgré tout
- ▶ Existence et de régularité des densités de  $(X_t, Y_t)$  ? (Hypoellipticité)
- ▶ Vitesses de convergence ? (contraction du semi-groupe)
- ▶ Des asymptotiques lorsque  $\sigma \rightarrow 0$  ? (grandes déviations)

FP cinétique est finalement une histoire plus simple (contrôlabilité, convergence, mesure invariante explicite, ...)

### III-3 Propriétés élémentaires

#### Proposition (Existence forte du processus)

Étant donné  $T > 0$  et un M.B.  $(B_t)_{t \geq 0}$ , il existe une unique solution de (1). De plus, si  $\mathbb{E}[U(X_0) + Y_0^2] < \infty$ , alors  $\sup_{t \leq T} \mathbb{E}[U(X_t) + Y_t^2] < \infty$ .

#### Démonstration.

Poser  $h(x, y, t) = U(x) + y^2/(2r(t))$  et montrer que

$$\mathcal{A}h(x, y, t) = \text{Tr}(\sigma^* D^2 U(x) \sigma) + |y|^2 \left(-1 + \frac{\dot{r}(t)}{2r^2(t)}\right) \leq C r h.$$

□

Comportement selon la mémoire  $r_\infty = \lim r$ , nous étudierons 3 cas :

1.  $r_\infty \in ]0; +\infty[$  : stabilité et **comportement non standard**  $k(t) \sim_{t \rightarrow \infty} e^{\lambda t}$ .
2.  $r_\infty = 0$  : **instabilité du processus**.  $k(t) \sim_{t \rightarrow \infty} t^\beta, \beta > 0$ .
3.  $r_\infty = +\infty$  : stabilité et **comportement standard**  $k(t) \sim_{t \rightarrow \infty} e^{t^\alpha}, \alpha > 1$ .

Le cas standard est celui de l'EDS :

$$dS_t = -\nabla U(S_t) dt + \sigma d\tilde{B}_t.$$

### III-4 Régularité du processus [Hypoellipticité]

- On va démontrer que les lois sont régulières.
- C'est non trivial en raison de la dégénérescence de la diffusion sur  $Y$ .

**Hypoellipticité** : ( $\sigma > 0$  et  $U$  infiniment dérivable)

$$\mathcal{E}_U = \left\{ x \in \mathbb{R}^d, \forall 1 \leq k \leq d : \exists (i_1, \dots, i_p) \partial_{x_{i_p} \dots x_{i_1} x_k} U(x) \neq 0 \right\}$$

#### Theorem (Hypoellipticité)

Si  $\sigma^* \sigma \geq \epsilon_0 Id$  et  $\dim(\mathbb{R}^d - \mathcal{E}_U) \leq d - 1$ , alors  $(X_t^z, Y_t^z)$  admet une densité  $C^\infty$  par rapport à la mesure de Lebesgue, notée  $p_t(z, \cdot)$ .

#### Démonstration.

Appliquer [H] version inhomogène en temps (Cattiaux, PTRF'02) avec

$$L_D = -\langle y, \partial_x \rangle + r(t) \langle \nabla U(x) - y, \partial_y \rangle, L_\sigma = \frac{\sigma^2}{2} \Delta_x, L_Z = L_D - L_\sigma$$

et montrer que  $\dim \text{span Lie} \left( \frac{\partial}{\partial t} + L_Z, \sigma_1, \dots, \sigma_d \right) (x, y, \xi) = 2d + 1$ , Les dimensions manquantes proviennent de

$$\left[ \partial_{x_i}, \frac{\partial}{\partial t} + L_D \right].$$



### III-4 Régularité du processus [Hypoellipticité]

- ▶ On va démontrer que les lois sont **positives** pour  $t > 0$ .
- ▶ C'est non trivial en raison de la dégénérescence de la diffusion sur  $Y$ .

**Contrôlabilité :**

$$\left\{ \begin{array}{l} \frac{dx_t^\varphi}{dt} = -y_t^\varphi + \dot{\varphi}_t \\ \frac{dy_t^\varphi}{dt} = r(t)[\nabla U(x_t^\varphi) - y_t^\varphi] \end{array} \right.$$

#### Theorem (Contrôlabilité)

Si  $\lim U(x)/|x| = +\infty$ , le système est **approximativement contrôlable** et **localement exactement contrôlable** aux min locaux de  $U$  ( $D^2U > 0$ ).

#### Démonstration.

- i) : « Irréductibilité » du processus par la rep. barycentre des  $\nabla U(x)$  du  $y$ .
- ii) : Cond. Kalman et calcul de Malliavin (Delarue & Menozzi, J.F.A. '10) □

On peut alors conclure que la densité  $p_t(z, \cdot)$  est  $C^\infty$  sur  $\mathbb{R}^{2d}$  et positive.

### III-5 Ergodicité du processus [Hypo-coercivité]

- ▶ **On se place dans le cas  $r_\infty > 0$  et  $\sigma$  constant**
- ▶ C'est le cas de type mémoire exponentielle.
- ▶ Condition de rappel « convexité à l'infini » :  $(\mathbf{H}_a)$  : Il existe  $a \in (0, 1]$  :

$$\frac{|\nabla U(x)|^2}{U(x)} \ll (U(x) \vee |x|^2)^a \ll \langle x, \nabla U(x) \rangle$$

#### Theorem

Sous  $(\mathbf{H}_a)$  + condition d'hypoellipticité :

$$\sup_{\{f, |f| \leq 1\}} |P_t^{r_\infty}(z_0, f) - p_\infty(f)| \leq C_{a, r_\infty}(z_0) \begin{cases} \exp(-\delta_{r_\infty} t) & \text{si } a = 1 \\ t^{-\frac{a}{1-a}} & \text{si } a \in (0, 1). \end{cases}$$

- ▶ Si  $U(x) \sim |x|^q$  avec  $q > 0$ , on peut choisir  $a = 1 \wedge q/2$ .
- ▶ C'est un cadre **compatible avec la méthode de type recuit simulé**.

### III-5 Ergodicité du processus [Hypocoercivité]

- ▶ **On se place dans le cas  $r_\infty = 0$  et  $\sigma$  constant**
- ▶ C'est le cas de type mémoire polynomiale  $k(t) = t^\alpha$  avec  $\alpha > 0$  ou  $k(t) = e^{t^\alpha}$  avec  $\alpha \in (0, 1)$ .

#### Theorem

Si  $U$  est sous-quadratique, alors

$$\lim_{t \rightarrow +\infty} \sup r(t) \mathbb{E}[X_t^2] = +\infty.$$

On peut même affiner le résultat dans le cas Gaussien  $U(x) = \frac{x^2}{2}$ .

#### Theorem

Si  $k(t) = (1+t)^\alpha$  avec  $\alpha > 1/2$ , on a :

i) Le processus  $(X_t, Y_t)_{t \geq 0}$  est asymptotiquement centré et satisfait

$$\lim_{t \rightarrow \infty} \mathbb{E}Y_t^2 = \frac{\alpha}{2\alpha + 1}, \quad \text{et} \quad \mathbb{E}X_t^2 \sim \frac{t}{2\alpha + 1} \quad \text{si} \quad t \rightarrow +\infty.$$

ii)

$$\left( \sqrt{\frac{2\alpha + 1}{t}} X_t, \sqrt{\frac{2\alpha + 1}{\alpha}} Y_t \right) \xrightarrow{\mathcal{L}} \mathcal{N}(0, I_2) \quad \text{si} \quad t \rightarrow +\infty.$$

Mémoire polynomiale semble une mauvaise idée, sauf si  $\sigma(t) \rightarrow 0$  vite...

## Identification de la limite dans le cas homogène $0 < r_\infty < +\infty$

Proposition (Identification de la loi stationnaire, cas homogène)

Sous les hypo-hypothèses  $r(t) = r_\infty \in ]0; +\infty[$ ,  $p_\infty$  est  $C^\infty$  et satisfait

$$\langle y, \partial_x p_\infty \rangle + \frac{1}{2} \text{Tr}(\sigma^* D_x^2 p_\infty \sigma) + r_\infty (\langle y - \nabla U(x), \partial_y p_\infty \rangle + p_\infty) = 0.$$

- ▶ Dans le cas gaussien ( $U(x) = x^2/2$ ) et  $\sigma$  constant,  $p_\infty$  est une mesure gaussienne centrée de matrice de covariance « tordue »

$$\Sigma^2(r_\infty) = \frac{\sigma^2}{2} \begin{pmatrix} \frac{r_\infty+1}{r_\infty} & 1 \\ 1 & 1 \end{pmatrix}.$$

- ▶ C'est aussi vrai dans le cas inhomogène  $r(t) \rightarrow r_\infty \in ]0; +\infty[$ .
- ▶ Dans le cas  $\sigma = \sigma Id$  constant,  $p_\infty$  satisfait

$$\langle y, \partial_x p_\infty \rangle + \frac{\sigma^2}{2} \Delta_x p_\infty + r_\infty (\langle y - \nabla U(x), \partial_y p_\infty \rangle + p_\infty) = 0.$$



## I - Introduction

## II - Étude déterministe

II-1 Gradient mémoire

II-2 Premières propriétés

II-3 Cas convexe

II-4 Convergence des trajectoires

II-5 Développements

## III Modèle diffusif moyenné (DM)

III-0 Recuit simulé

III-1 Définition de la diffusion moyennée

III-2 Diffusion moyennée et Fokker Planck cinétique

III-3 Propriétés élémentaires

III-4 Régularité du processus [Hypoellipticité]

III-5 Ergodicité du processus [Hypocoercivité]

## IV Grandes déviations des mesures invariantes

IV-1 Comportement à basse température

IV-2 Théorie de Freidlin & Wentzell

IV-3  $\{i\}$ -graphe et conclusion

## IV-1 Comportement à basse température

- ▶ On se restreint au cas de la mémoire exponentielle  $k(t) = e^{\lambda t}$ .
- ▶ On cherche le comportement de  $\mu_\sigma$  lorsque  $\sigma \rightarrow 0$ .

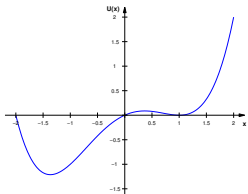
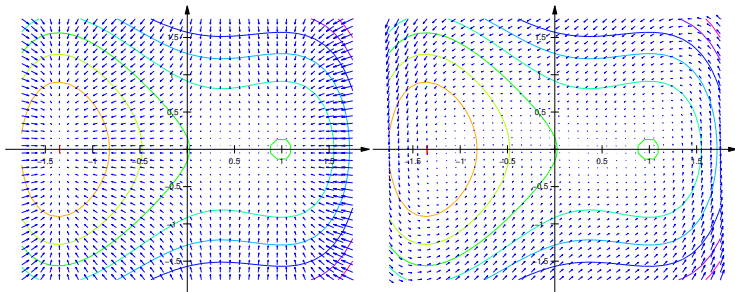


FIGURE : Potentiel  $U = x^4/4 - 3x^2/2 + x/5$ , Lignes de champ de  $U(x) + y^2/2$  pour le cas standard et le cas à mémoire.



## IV-1 Comportement à basse température

- ▶ Dans le cas « standard » :

$$\mathcal{L}_K = -\nabla U(x)\partial_x + \sigma^2\partial_x^2,$$

la distribution invariante est le champ de Gibbs  $\nu_\sigma \propto e^{-U/(2\sigma^2)}$ .

Méthode de Laplace  $\Rightarrow$  P.G.D. +  $\nu_\sigma(\arg \min U) \rightarrow_{\sigma \rightarrow 0} 1$ .

- ▶ Pour nous, (hormis le cas gaussien) pas de forme explicite pour  $\mu_\sigma \dots$
- ▶ Cela complique singulièrement l'analyse des P.G.D.

$$\left\{ \begin{array}{l} dX_t = -Y_t + \sigma dB_t \\ dY_t = \lambda[\nabla U(X_t) - Y_t] \end{array} \right. \quad \text{vs} \quad \left\{ \begin{array}{l} \dot{x} = -y^\varphi + \dot{\varphi} \\ \dot{y} = \lambda[\nabla U(x^\varphi) - y^\varphi] \end{array} \right.$$

- ▶  $\mathbf{z}_\varphi(z, \cdot)$  trajectoire initialisée en  $z$  avec un contrôle  $\varphi$ .
- ▶  $\varphi$  dans l'espace de Cameron-Martin  $\mathbb{H}$
- ▶ Coût de jonction de  $z_1$  à  $z_2$  en temps  $t$  (ou quelconque) :

$$I_t(z_1, z_2) = \inf_{\mathbf{z}_\varphi(z_1, t) = z_2, \varphi \in \mathbb{H}} \frac{1}{2} \int_0^t |\dot{\varphi}|^2 \quad I(z_1, z_2) = \inf_{t \geq 0} I_t(z_1, z_2)$$

## IV-1 Comportement à basse température

### Theorem (GPP, EJP '12)

- ▶ Tension exponentielle de  $(\mu_\sigma)$
- ▶ Si équilibres  $(z_i)_i$  discrets avec  $D^2U(z_i)$  inversible, à extraction près

$$\lim_{\sigma \rightarrow 0} \sigma^2 \log[\mu_\sigma(z)] = -W(z) \quad \text{avec} \quad \forall t \geq 0 \quad W(z_2) = \inf_{z_1} I_t(z_1, z_2) + W(z_1)$$

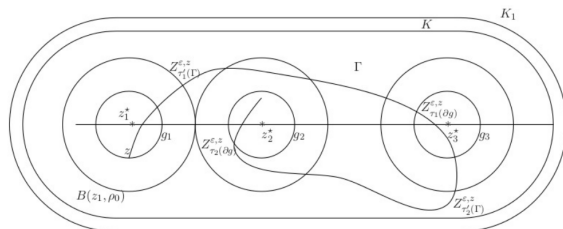
Quelques remarques importantes :

- ▶ Formulation HJB ou EDP :

$$-\langle y, \partial_x W \rangle + \langle \nabla U(x) - y, \partial_y W \rangle + \frac{|\partial_x W|^2}{2} = 0$$

- ▶ Inefficacité des méthodes EDP pour obtenir l'unicité de la limite.
- ▶ Utiliser en plus l'info de la nature « mesure invariante » d'un Markov.

## IV-2 Théorie de Freidlin & Wentzell



- ▶  $\mu_\sigma$  se représente au travers des transitions de la chaîne squelette
- ▶ Utilisation cruciale des voisinages des équilibres  $(g_i)_{i=1\dots L}$  du champs

$$\mu_\sigma(A) = \int_{\partial g} \tilde{\mu}_\sigma^{\partial g}(dz) \mathbb{E}_z \int_0^{\tau_1(\partial g)} \mathbf{1}_{Z_s^{z, \sigma} \in A} ds$$

- ▶ Il suffit alors plus simplement de comprendre le mécanisme de transition de la chaîne squelette entre les  $(g_i)_{1 \leq i \leq L}$

## IV-3 $\{i\}$ -graphe et conclusion

On introduit le quasi-potentiel  $V$  :

$$V(z_i, z_j) = \inf_{\begin{cases} \varphi \in \mathbb{H}^1 \\ z_\varphi(0) = z_i, z_\varphi(\infty) = z_j \end{cases}} \left[ \frac{1}{2} \int_0^{+\infty} \dot{\varphi}^2 \right],$$

$V$  règle l'asymptotique des transitions de la chaîne squelette.

$G(i)$  : ensemble des  $\{i\}$ -graphes : graphe orienté se terminant par  $\{i\}$  pour lequel tout nœud possède une unique arête sortante.

$$\mathcal{W}(z_i) := \min_{g \in G(i)} \sum_{(z_k \rightarrow z_l) \in g} V(z_k, z_l)$$

### Theorem (GPP, EJP'12)

Sous les conditions précédentes,  $W$  est **unique**, continue au vois des  $(z_i)_i$ , et

$$W(z_i) = \mathcal{W}(z_i) - \min_i \mathcal{W}(z_i).$$

$\mu_\sigma$  se concentre exp vite sur le min global de  $\mathcal{W}$ .

## Conclusion

- ▶ Bonne connaissance du système (G).
- ▶ Pour la diffusion (DM)
  - ▶  $k(t) = e^{\lambda t}$  Comportement stable mais non standard.
  - ▶ Si  $k(t) = e^{e^t}$  (non exposé aujourd'hui), comportement comparable à la diffusion

$$dS_t = -\nabla U(S_t)dt + \sigma(S_t)dB_t.$$

- ▶ Diffusion à petits paramètres
  - ▶ Existence d'un PGD
  - ▶ Description précise des minimiseurs
- ▶ Élargissements :
- ▶ Vrai recuit : coupler  $\sigma_t \rightarrow 0$  avec vitesse  $L^2$
- ▶ Borne inférieure de vitesses inconnues.
- ▶ Modélisation, étudier des systèmes à mémoire ayant une écriture comparable (bulles financières, dynamique des populations, ...)
- ▶ Passage en algo sto des méthodes d'ordre 2. Vitesse, renormalisation, processus limite ?

**Merci de votre attention !**